электронное научно-техническое издание

НАУКА и ОБРАЗОВАНИЕ

Эл № ФС 77 - 30569. Государственная регистрация №0421100025. ISSN 1994-0408

Выявление и анализ организационно-технологических факторов, влияющих на результативность технологических систем, организованных на основе концентрации обрабатывающих и сборочных процессов

77-30569/362645

03, март 2012 Бысов С. А., Малышев Е. Н. УДК 658.512

КФ МГТУ им. Н.Э. Баумана m1@bmstu-kaluga.ru

Как показывают исследования [1], при традиционной организации машиностроительного производства предметы труда находятся в цехах только 1 % всего времени от задания на проектирование до выхода готовой продукции, при этом на технологическом оборудовании — всего 5 % времени от нахождения деталей в цехах, остальное время приходится на дополнительные операции и перерывы, в том числе пролеживание.

Сборочные операции являются составной частью подавляющего числа технологических процессов изготовления изделий в машиностроении. Примерно 35...40 % соединений деталей осуществляется по гладким цилиндрическим поверхностям, примерно треть из них — продольно-прессовые соединения, образованные запрессовкой различного вида втулок [2]. Наиболее распространенными представителями сборочных единиц с запрессованными втулками являются корпуса, кондукторы, рычаги и шатуны.

Возникающие при запрессовке деформации тем или иным образом изменяют форму и размеры исполнительных поверхностей соединенных деталей, в ряде случаев значительно по сравнению с изначальными значениями. Для обеспечения требуемой точности осуществляется механической обработка деталей в сборе с целью устранения негативного влияния сборочной взаимосвязи, а также технологических погрешностей. Технология производства таких изделий включает обработку базовых и сопрягаемых поверхностей деталей на металлорежущих станках, соединение деталей на прессах или другом сборочном оборудовании, обработку деталей в сборе на металлорежущих станках.

При исследовании механосборочных производств большое внимание уделяется оценке простоев и нахождению условий повышения эффективности использования основного

оборудования [3]. Время, связанное с перемещением деталей на сборку и возвратное перемещение сборочных единиц на станок для обработки в сборе, является непроизводительно затраченным и может достигать нескольких часов. Устранить указанные недостатки традиционной технологии можно посредством концентрации процессов сборки и обработки в единой технологической системе. При этом необходимо решить следующие задачи:

- выявить и проанализировать организационно-технологические факторы, оказывающие влияние на длительность производственного цикла изготовления изделий на основе концентрации сборочных и обрабатывающих процессов:
- установить область наиболее эффективного применения метода концентрации процессов.

Рассмотрим длительность производственного цикла, реализуемого на участке a-b-c-d при последовательном выполнении операций обработки — сборки — доработки изделия (рис. 1), без учета междусменных перерывов.

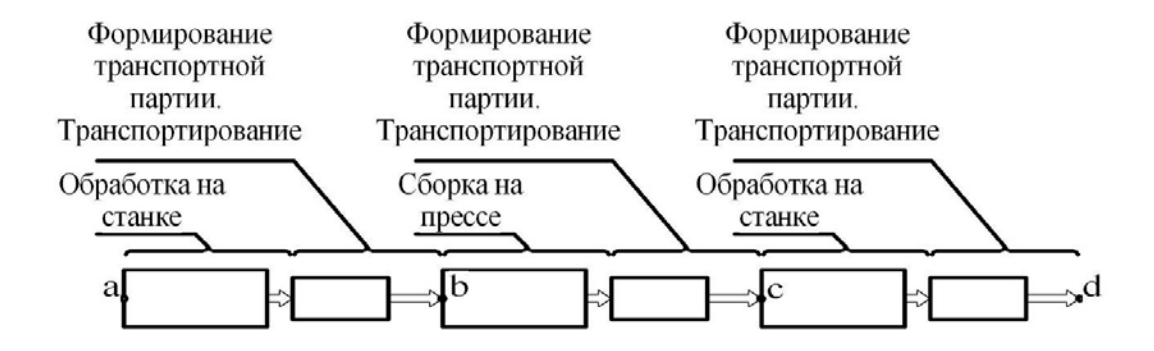


Рис. 1. Последовательное выполнение операций обработки – сборки – доработки

Участок а-ь

Затраты времени, связанные с обработкой на станке под запрессовку:

$$\theta_{O.C.}^{a-b} = T_p^{a-b} + T_X^{a-b} + T_B^{a-b},$$

где T_p^{a-b} — время выполнения рабочих ходов (токарная обработка), мин: $\mathsf{T}_p^{a-b} = \frac{\mathsf{TId} L_p}{1000 v_p S_p^{a-b}} k_p^{a-b}, \text{ где } d \text{ и } L_p$ — диаметр и длина обрабатываемой поверхности

соответственно, мм, v_p – скорость резания, м/мин, S_p^{a-b} – величина подачи на рабочих ходах, мм/об, k_p^{a-b} – количество рабочих ходов, назначенных исходя из погрешности

относительного положения обрабатываемых поверхностей и погрешности установки заготовки в рабочей зоне станка;

 t_X^{a-b} – время выполнения холостых ходов (токарная обработка): $t_X^{a-b} = \frac{L_X}{S_X^{a-b}} k_X^{a-b}$, где

 L_X – длина однократного холостого хода инструмента, мм, S_X^{a-b} - величина подачи на холостых ходах, мм/мин, k_X^{a-b} – количество рабочих ходов. Можно считать, что $L_X = L_p$ и $k_X^{a-b} = k_p^{a-b}$.

 T_B^{a-b} – время выполнения вспомогательных переходов, мм, затрачиваемое на установку заготовки, снятие готовой детали, управление механизмами станка и т.п.

Затраты времени, связанные с формированием транспортной партии и транспортированием от станка к прессу:

$$\theta_{Tp}^{a-b} = \mathsf{T}_{II}^{a-b} + \mathsf{T}_{Tp}^{a-b},$$

где T_{II}^{a-b} - перерывы партионности (пролеживание деталей у станка после обработки в ожидании завершения обработки всех обрабатываемых на станке деталей): $\mathsf{T}_{II}^{a-b} = \left(\mathsf{T}_{P}^{a-b} + \mathsf{T}_{X}^{a-b} + \mathsf{T}_{B}^{a-b}\right) N_{TP}, \text{ где } N_{TP} - \text{ величина транспортной партии;}$

 $\mathsf{T}^{a-b}_{T\,p}$ – время перемещения транспортной партии от станка к прессу и подготовка к запрессовке.

Участок b-с

Затраты времени, связанные со сборкой на прессе:

$$\theta_{C.II.}^{b-c} = \tau_{D}^{b-c} + \tau_{X}^{b-c} + \tau_{B}^{b-c},$$

где т $_p^{b-c}$ – время выполнения однократного рабочего хода (запрессовка), мин:

$$t_p^{b-c} = \frac{L_p}{v_{\mathcal{C}}}$$
, где L_p – длина сопрягаемых поверхностей, мм, $v_{\mathcal{C}}$ - скорость выполнения

сопряжения, м/мин;

$$\mathsf{T}_X^{b-c}$$
 — время отвода пуансона: $\mathsf{T}_X^{b-c} = \frac{L_X}{S_{OT}}$, где S_{OT} — скорость отвода пуансона,

мм/мин;

 T_B^{b-c} – время выполнения вспомогательных переходов, мин, затрачиваемое на установку

соединяемых компонентов, снятие узла, управление механизмами пресса и т.п.

Затраты времени, связанные с формированием транспортной партии и транспортированием от пресса к станку:

$$\theta_{Tp}^{b-c} = \mathsf{T}_{II}^{b-c} + \mathsf{T}_{Tp}^{b-c},$$

где T_{II}^{b-c} – перерывы партионности (пролеживание деталей у пресса после сборки в ожидании завершения сборки всех узлов): $\mathsf{T}_{\phi}^{b-c} = \left(\mathsf{T}_{p}^{b-c} + \mathsf{T}_{X}^{b-c} + \mathsf{T}_{B}^{b-c}\right) N_{Tp};$

 T^{b-c}_{Tp} — время перемещения транспортной партии от пресса к станку и подготовка к обработке.

Участок с-d

Затраты времени, связанные с доработкой на станке:

$$\theta_{o.c.}^{c-d} = \mathsf{T}_{p}^{c-d} + \mathsf{T}_{X}^{c-d} + \mathsf{T}_{B}^{c-d},$$

где T_p^{c-d} – время выполнения рабочих ходов (токарная обработка), мин:

$$au_p^{c-d} = \frac{\Pi dL_p}{1000 v_p S_p^{c-d}} k^{c-d}$$
, где k^{c-d} – количество рабочих (холостых) ходов,

назначенных исходя из погрешности сборки и погрешности установки обрабатываемого

узла в рабочей зоне станка:
$$k^{c-d} = \left\lceil \frac{\left(\Delta_{c\delta} + \Delta_{ycT}\right)}{t^*} \right\rceil$$
, где $\left(\Delta_{c\delta} + \Delta_{ycT}\right)$ – погрешность,

подлежащая удалению обработкой деталей в сборе, мм, состоящая из Δ_{co} – погрешности, возникающей в результате выполнения сборочной операции и Δ_{ycT} – погрешности установки сборочной единицы для обработки деталей в сборе, t^* – эффективная глубина резания при обработке деталей в сборе, мм;

$$\mathsf{T}_X^{c-d}$$
 — время выполнения холостых ходов (токарная обработка): $\mathsf{T}_X^{c-d} = \frac{L_X}{S_X} k^{c-d}$,

мин;

 T_B^{c-d} – время выполнения вспомогательных переходов, затрачиваемое на установку и снятие узла, управление механизмами станка и т.п., мин.

Затраты времени, связанные с формированием транспортной партии и транспортированием от станка на контроль:

$$\theta_{Tp}^{c-d} = \mathsf{T}_{II}^{c-d} + \mathsf{T}_{Tp}^{c-d},$$

где \mathbf{T}_{II}^{c-d} — перерывы партионности (пролеживание узла у станка после обработки в ожидании завершения обработки всех обрабатываемых на станке): $\mathbf{T}_{II}^{c-d} = \left(\mathbf{T}_{P}^{c-d} + \mathbf{T}_{X}^{c-d} + \mathbf{T}_{B}^{c-d}\right) N_{TP},$ где N_{TP} — величина транспортной партии; \mathbf{T}_{TP}^{a-b} — время перемещения транспортной партии от станка на контроль, мин.

Длительность производственного цикла, реализуемого последовательно на участке a-b-c-d без учета междусменных перерывов:

$$\theta^{a-b-c-d} = \theta^{a-b}_{o.c.} + \theta^{a-b}_{Tp} + \theta^{b-c}_{c.n.} + \theta^{b-c}_{Tp} + \theta^{c-d}_{o.c.} + \theta^{c-d}_{Tp}.$$

Рассмотрим длительность производственного цикла, реализуемого на участке a-d при концентрации обрабатывающих и сборочных процессов (рис. 2), без учета междусменных перерывов.

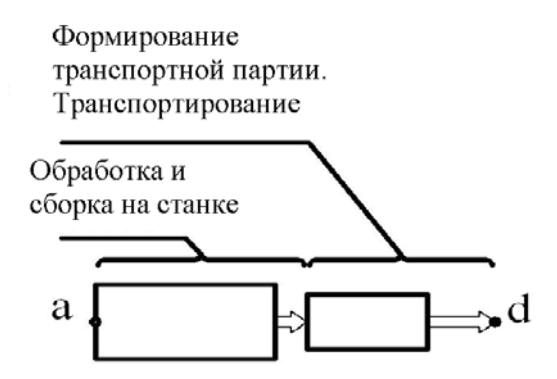


Рис. 2. Процесс на основе концентрации обрабатывающего и сборочного процессов

Затраты времени, связанные с обработкой на станке под запрессовку соизмеримы с затратами $\theta_{O.C.}^{a-b}$.

Затраты времени, связанные со сборкой на станке соизмеримы с затратами $\theta_{\mathcal{C}.\mathcal{H}}^{b-\mathcal{C}}$. **Затраты времени, связанные с доработкой на станке:**

$$\theta_{o.c.}^{a-d} = \tau_p^{a-d} + \tau_X^{a-d} + \tau_B^{a-d},$$

где T_p^{a-d} – время выполнения рабочих ходов (токарная обработка), мин: $\mathsf{T}_p^{a-d} = \frac{\mathsf{T} d L_p}{1000 \, v_p S_p^{a-d}} \, k^{a-d} \, , \quad \mathsf{где} \quad k^{a-d} \quad - \quad \mathsf{количество} \quad \mathsf{рабочих} \quad (\mathsf{холостых}) \quad \mathsf{ходов},$

назначенных исходя из погрешности сборки: $k^{a-d} = \left| \frac{\Delta_{c\delta}}{t^*} \right|$, где $\Delta_{c\delta}$ – погрешность, подлежащая удалению обработкой деталей в сборе, мм, t^* – эффективная глубина резания при обработке деталей в сборе, мм;

$$\mathsf{T}_X^{a-d}$$
 – время выполнения холостых ходов (токарная обработка): $\mathsf{T}_X^{a-d} = \frac{L_X}{S_X} k^{a-d}$,

мин;

 τ_B^{a-d} – время выполнения вспомогательных переходов, затрачиваемое на установку и снятие узла, подготовку станка и т.п., мин.

Затраты времени, связанные с формированием транспортной партии и транспортированием от станка на контроль:

$$\theta_{Tp}^{a-d} = \tau_{II}^{a-d} + \tau_{Tp}^{a-d},$$

где τ_{II}^{a-d} – перерывы партионности (пролеживание узла у станка после обработки в ожидании завершения обработки всех обрабатываемых на станке) $\tau_{II}^{a-d} = \tau_{II}^{c-d}$, мин; τ_{II}^{a-d} – время перемещения транспортной партии от станка на контроль $\tau_{II}^{a-d} = \tau_{II}^{c-b}$, мин.

Длительность производственного цикла, реализуемого на участке a-d на основе концентрации процессов без учета междусменных перерывов:

$$\theta^{a-d} = \theta_{o.c.}^{a-b} + \theta_{c.n.}^{b-c} + \theta_{o.c.}^{a-d} + \theta_{r.p}^{c-d}.$$

Разность в длительности производственных циклов (затрат времени):

$$\Delta\theta = \theta^{a-b-c-d} - \theta^{a-d} = \theta^{a-b}_{Tp} + \theta^{b-c}_{Tp} + \left(\theta^{c-d}_{o.c.} - \theta^{a-d}_{o.c.}\right).$$

Принимая $t_{Tp}^{a-b} = t_{Tp}^{b-c} = t_{Tp}^{c-d} = t_{Tp}$ и подставляя начальные обозначения, получаем:

$$\Delta\theta = N_T p \left(\left(\frac{\operatorname{TI} dL}{1000 \, v_p S_p} + \frac{L}{S_X} \right) \left\lceil \frac{\Delta_{\mathcal{YCT}}}{t^*} \right\rceil + t_B \right) + 2t_T p.$$

Аналогичным образом может быть определена разница потерь по инструменту:

$$\Delta \theta_{M} = \left| N_{T p} \frac{\mathrm{TI} dL}{1000 v_{p} S_{p}} \left[\frac{\Delta_{ycT}}{t^{*}} \right] \frac{1}{T} \right| \mathbf{T}_{M},$$

где T — период стойкости инструмента, мин, T_H — длительность одной переточки или замены изношенного (поломанного) инструмента, $\left\lceil \frac{\Delta_{ycr}}{t^*} \right\rceil$ — количество дополнительных проходов при обработке по базовой технологии по сравнению с предлагаемой, $\left\lceil \frac{N_T p}{1000 \, v_p S_p} \right\rceil \frac{\Delta_{ycr}}{t^*} \left\rceil \frac{1}{T} \right\rceil$ — количество дополнительных переточек

или замен инструмента.

Тогда, с учетом потерь по инструменту:

$$\Delta\theta = N_{Tp} \left[\left\lceil \frac{\Delta_{ycT}}{t^*} \right\rceil \left(\frac{\pi dL}{1000 v_p S_p} + \frac{L}{S_X} + \left\lfloor \frac{\pi dL}{1000 v_p S_p} \frac{1}{T} \right\rfloor \tau_H \right) + \tau_B \right] + 2\tau_{Tp}. \tag{1}$$

(1) является математической моделью, отражающей экономию затрат времени при изготовлении изделий на основе концентрации сборочных и обрабатывающих процессов.

Полученная модель (1):

- 1) показывает, на какую величину времени возможно сократить длительность производственного цикла в случае концентрации обрабатывающего и сборочного процессов на технологическом оборудовании, т.е. модель обеспечивает предсказуемость результативности процесса концентрации обрабатывающего и сборочного процессов,
- 2) позволяет выявить организационно-технологические факторы (рис. 3), оказывающие наиболее существенное влияние на величину сокращения длительности производственного цикла, т.е. выявляет инструменты направленного воздействия (управления) на организацию производственного процесса.

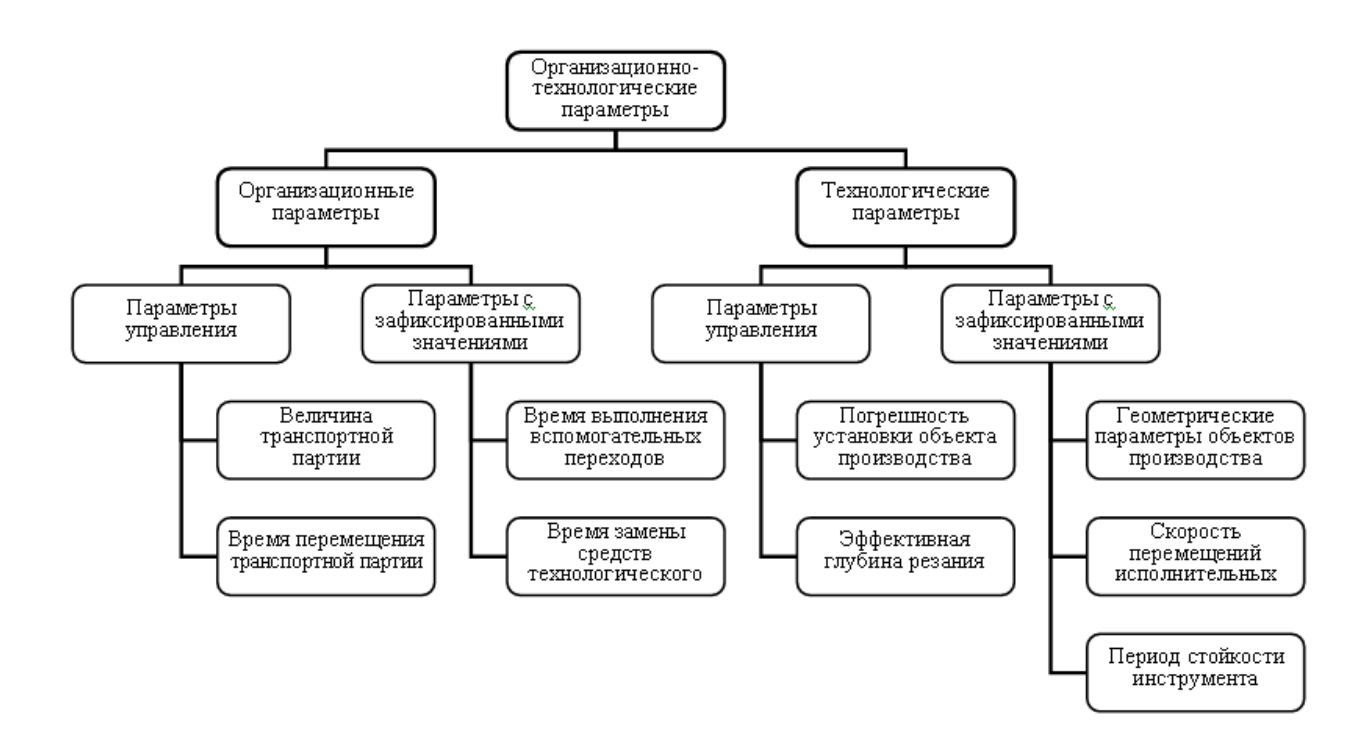


Рис. 3. Организационно-технологические параметры, оказывающие влияние на длительность производственного цикла изготовления изделий на основе концентрации сборочных и обрабатывающих процессов

Одним из наиболее эффективных инструментов исследования, который основан на системном подходе, является метод планирования и реализации факторных экспериментов [4].

При проведении численного полнофакторного эксперимента (ПФЭ) для исследования организационно-технологических факторов, оказывающих наиболее существенное влияние на величину сокращения длительности производственного цикла в качестве таких факторов приняты: $N_{T\,p}$, Δ_{ycT} , $\tau_{T\,p}$ и t^* . Остальные факторы, которые входят в структуру модели (1), являются технологическими и их значения обусловлены свойствами материалов и характером технологического процесса. Факторы устанавливались на двух уровнях, то есть имеет место полный факторный эксперимент 2^4 .

Уровни факторов в натуральном и безразмерном масштабах представлены в таблице.

Уровни факторов в натуральном и безразмерном масштабах

Факторы	Уровни факторов			Интервалы
	+1	0	-1	титерышы
N_{Tp}	35	25	15	10
Δ_{ycr}	0,5	0,25	0	0,25
T_{Tp}	20	16	12	4
<i>t</i> *	0,4	0,25	0,1	0,15

Получена регрессионная модель в кодированном масштабе уровней факторов:

$$y(\Delta\theta) = 46,24 + 5,7 N_{Tp} + 11,49 \Delta_{ycT} + 8,0 T_{Tp} - 4,92 t^*.$$
 (2)

Величина и знак коэффициентов в уравнении регрессии (2) говорят о силе и характере влияния исследуемых факторов на величину сокращения длительности производственного цикла при внедрении предлагаемых организационно технологических мероприятий (концентрации операций).

На рис. 4 представлены результаты анализа эксперимента 2^4 в виде диаграммы результатов регрессионного анализа, по которой можно определить силу и характер влияния факторов на отклик.

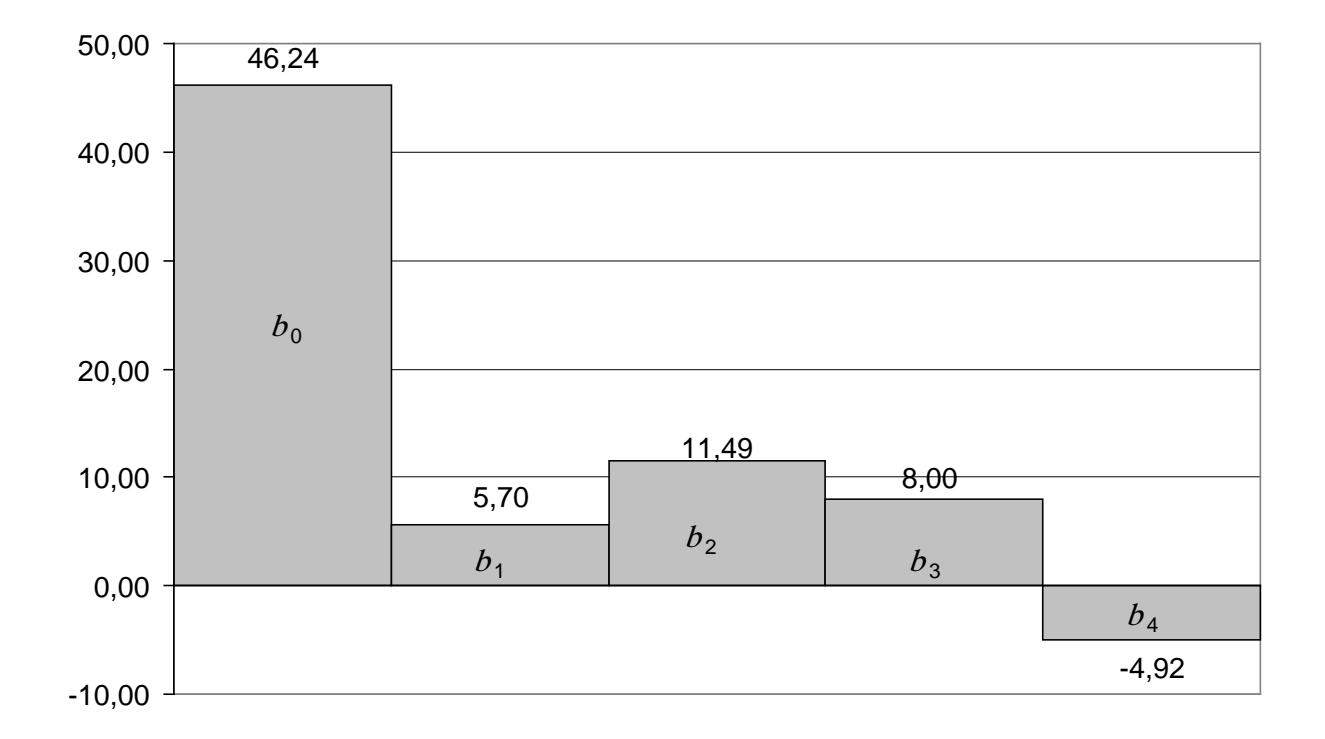


Рис. 4. Анализ результатов регрессионного анализа

Так из анализа (2) следует, что сила влияния погрешности установки сборочной единицы на станок Δ_{ycr} в два раза больше влияния N_{rp} . Второе по величине влияние оказывает время транспортировки τ_{rp} . Коэффициент при t^* в уравнении регрессии отрицательный, это значит, что с увеличением t^* экономия длительности производственного цикла уменьшается, то есть при увеличении глубины резания сокращается количество ходов и соответственно время обработки.

На рис. 5 показана зависимость величины сокращения длительности производственного цикла от технологических параметров: величины погрешности установки Δ_{ycr} и принятого значения эффективной глубины резания при обработке деталей в сборе t^* . Из графика видно, что внедрение концентрации обработки и сборки наиболее эффективно при обработке непрочных соединений, когда величина t^* – наименьшая.

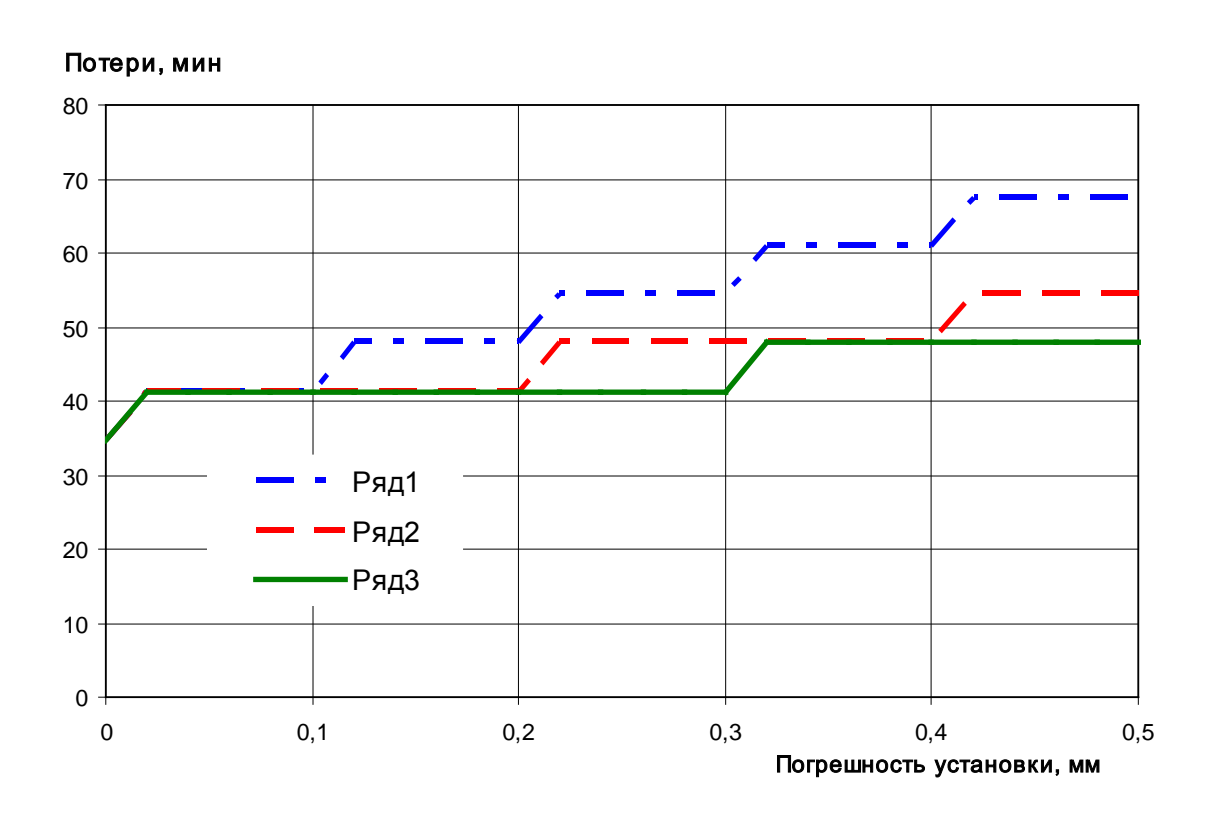


Рис. 5. Зависимость величины сокращения длительности производственного цикла от технологических параметров: величины погрешности установки Δ_{ycr} и принятого значения эффективной глубины резания при обработке деталей в сборе t^* :

Ряд 1 –
$$t^*$$
=0,1 мм, Ряд 2 – t^* =0,2 мм, Ряд 3 – t^* =0,3 мм

На рис. 6 показана зависимость величины сокращения длительности производственного цикла от организационных параметров: времени перемещения транспортной партии

между операциями τ_{Tp} и величины транспортной партии N_{Tp} . Из графика видно, что наибольший эффект от внедрения предлагаемых мероприятий проявляется при наибольших значениях времени транспортирования и величины транспортной партии.

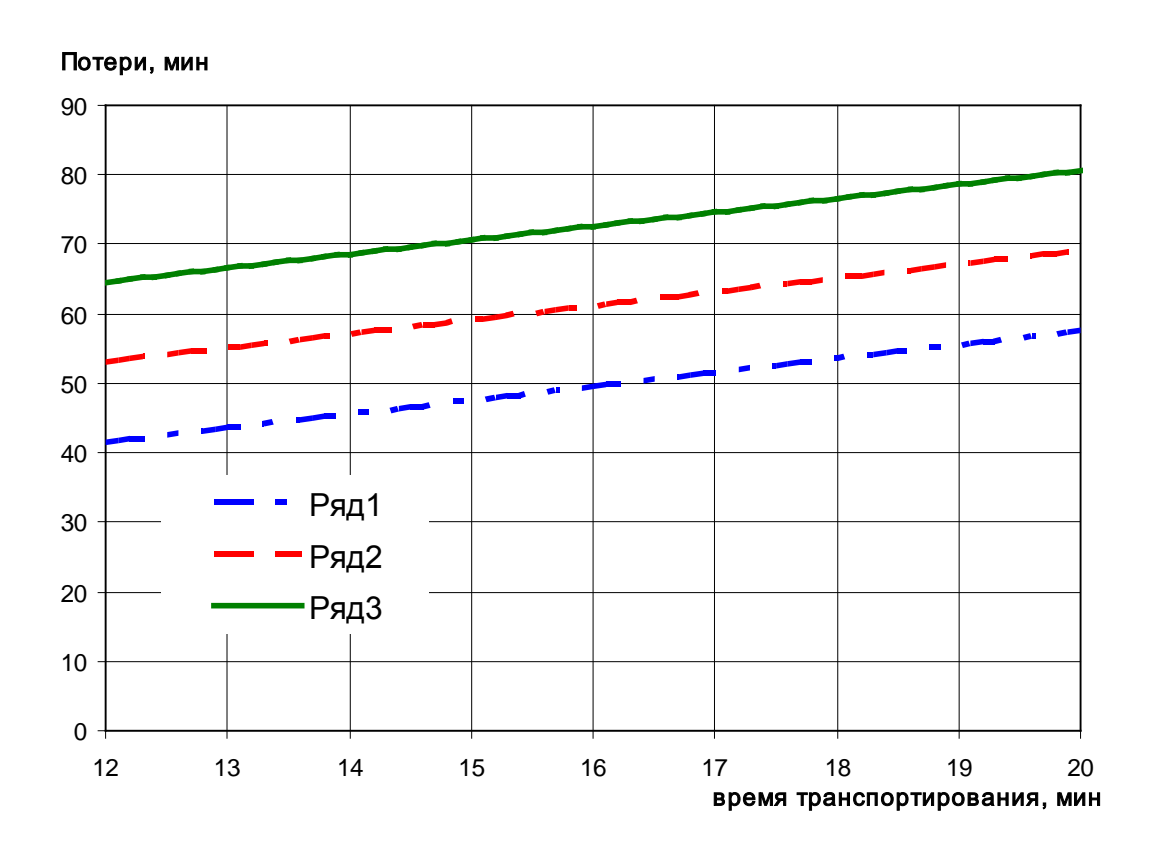


Рис. 6. Зависимость величины сокращения длительности производственного цикла от организационных параметров: величины времени перемещения транспортной партии

между операциями τ_{Tp} и величины транспортной партии N_{Tp} :

Ряд 1 —
$$N_{Tp}$$
=15, Ряд 2 — N_{Tp} =25, Ряд 3 — N_{Tp} =35

Полученная в результате проведенных исследований математическая модель и регрессионный анализ результатов $\Pi\Phi$ Э 2^4 позволяют сделать нижеследующие выводы: 1. Установлены факторы, оказывающие влияние на длительность производственного цикла изготовления изделий на основе концентрации сборочных и обрабатывающих процессов: организационные (величина транспортной партии, длительность одной замены изношенного инструмента, время выполнения вспомогательных переходов, время перемещения транспортной партии) и технологические (погрешность установки сборочной единицы для обработки деталей в сборе, период стойкости инструмента, эффективная глубина резания при обработке деталей в сборе, диаметр и длина

- обрабатываемой поверхности, скорость резания, величина подачи на рабочих и холостых ходах, длительность одной переточки изношенного инструмента).
- 2. Доминирующими факторами, оказывающими влияние на сокращение длительности производственного цикла изготовления изделий на основе концентрации сборочных и обрабатывающих процессов, являются погрешность установки сборочной единицы для обработки деталей в сборе Δ_{ycr} и время перемещения транспортной партии между операциями τ_{rp} .
- 3. Внедрение концентрации обработки и сборки наиболее эффективно при обработке непрочных соединений, когда значение величины эффективной глубины резания при обработке деталей в сборе t^* наименьшее.

Литература

- 1. Шишмарев В.Ю. Машиностроительное производство / В.Ю. Шишмарев, Т.И. Каспина. М.: Издательский центр «Академия», 2004. 352 с.
- 2. Машиностроение. Энциклопедия / Ред. совет: К.В. Фролов (пред.) и др. М.: Машиностроение. Технология сборки в машиностроении. Т. III-5 / А.А. Гусев, В.В. Павлов, А.Г. Андреев и др.; Под общ. ред. Ю.М. Соломенцева, 2001. 640 с.
- 3. Корытов В.Н. Повышение эффективности механообрабатывающего производства на основе комплексного анализа технологических и организационных факторов. Дисс. ... канд.техн.наук. Гаврилов-Ям, 2004. 136 с.
- 4. Боровиков С.М. Теоретические основы конструирования, технологии и надежности. Мн.: Дизайн ПРО, 1998. 336 с.

electronic scientific and technical periodical

SCIENCE and EDUCATION

EL № FS 77 - 30569. №0421100025. ISSN 1994-0403

Detection and analysis of organizational-technological factors influencing the productivity of technological systems based on processing-assembly concentration

77-30569/362645

03, March 2012 Bysov S.A., Malyshev E.N.

> Bauman Moscow Technical University, Kaluga Branch m1@bmstu-kaluga.ru

The authors determine organizational and technological factors influencing productivity of technological systems based on processing-assembly concentration. The authors analyzed these factors and presented a mathematical model showing savings on time for manufacturing on the basis of processing-assembly concentration.

Publications with keywords: <u>mathematical model</u>, <u>technological potentialities</u>, <u>manufacture</u> organization

Publications with words: <u>mathematical model</u>, <u>technological potentialities</u>, <u>manufacture</u> <u>organization</u>

References

- 1. Shishmarev V.Iu. *Mashinostroitel'noe proizvodstvo* [Engineering production]. Moscow, Akademiia Publ., 2004. 352 p.
- 2. Andreev A.G., Pavlov V.V., Gusev A.A., Solomentsev Iu.M. *Tekhnologiia sborki v mashinostroenii* [Assembly technology in mechanical engineering]. Moscow, Mashinostroenie Publ., 2001. 640 p. (*Entsiklopediia "Mashinostroenie"*, vol. 3, book 5).
- 3. Korytov V.N. *Povyshenie effektivnosti mekhanoobrabatyvaiushchego proizvodstva na osnove kompleksnogo analiza tekhnologicheskikh i organizatsionnykh faktorov. Diss. kand. tekhn. nauk* [Improving the efficiency of production machining through an integrated analysis of technological and organizational factors. Cand. tech. sci. diss.]. Gavrilov-Iam, 2004. 136 p.
- 4. Borovikov S.M. *Teoreticheskie osnovy konstruirovaniia, tekhnologii i nadezhnosti* [Theoretical basis of design, technology and reliability]. Minsk, Dizain PRO Publ., 1998. 336 p.